

(478) 加工硬化したオーステナイトからのフェライト変態挙動に及ぼす
オーステナイト粒径の影響

京大 大学院
京大 工学部

○大塚秀幸
梅本 実 田村少男

1. 緒言 制御圧延では γ を未再結晶域で加工することにより、 γ 粒界での α の核生成速度が増加し、さらに焼鈍双晶や粒内に導入された変形組織が α の核生成場所となることを利用して α 粒の微細化を図っている。ところで γ 粒界、焼鈍双晶、変形組織などでの α 粒の核生成に対する加工の効果などを明らかにする目的の研究では、これまで観察の容易な $100\mu\text{m}$ 以上の粗大な γ 粒を用いたものが多かった。しかしながら一般の制御圧延では低温加熱や γ の繰り返し再結晶によって γ 粒径は $20\mu\text{m}$ 以下に制御するのが普通である。従って $100\mu\text{m}$ 以上の粗大な γ 粒を使った実験結果がはたして $20\mu\text{m}$ 以下の微細 γ 粒の場合にあてはまるのかどうか明らかにしておく必要がある。そこで本研究では市販の低合金高張力鋼を用いて $400\mu\text{m}$ 程度の粗大 γ 粒と $10\mu\text{m}$ 程度の微細 γ 粒における α の核生成の様子を比較した。

2. 実験方法及び結果 本研究に用いた試料は $\text{Fe}-0.1\text{C}-0.04\text{Nb}-0.04\text{V}$ 鋼で、加工及び熱処理はすべて加工フォーマスタにより行なった。 1200°C で30分或は 900°C で15分 γ 化するにより各々約 $400\mu\text{m}$ 、 $10\mu\text{m}$ の γ 粒径となった。以下、前者を粗大 γ 粒、後者を微細 γ 粒と呼ぶ。また加工は 850°C で歪速度 $\dot{\epsilon}=1\text{s}^{-1}$ で圧縮により行なった。Photo.1は(a)、(b)が粗大 γ 粒、(c)、(d)が微細 γ 粒における50%圧縮後の $\gamma \rightarrow \alpha$ 変態の様子を示したもので、(a)、(c)は変態初期、(b)、(d)は変態後期のものである。強加工した場合、粗大 γ 粒では旧 γ 粒界及び焼鈍双晶で細かな α 粒が生成している。また、粒内からも α が生成するが孤立して大きく成長している場合や、局部的に変形が集中したところに多くの細かな α 粒が生成している場合がある。従って変態終了時には混粒組織になる(Photo.1(b))。これに対して微細 γ 粒では α 粒は一部粒内からも生成するが大半は旧 γ 粒界から生成しており、焼鈍双晶からはほとんど生成は認められない。また α 粒は試料全体にわたってほぼ均一に分布して生成し、変態終了時には等軸 α の整粒組織になる(Photo.1(d))。Photo.2(a)、(b)は粗大 γ 粒をそれぞれ10%、50%加工した時の変態途中での焼鈍双晶を示す。10%加工では α は焼鈍双晶上にfilm状に生成するが、50%加工の場合には細かな粒状の α が生成し、双晶近傍では粗大な α 粒が生成する。これに対して微細 γ 粒では10%、50%加工いずれの場合も焼鈍双晶境界における優先的な α の生成は認められなかった。

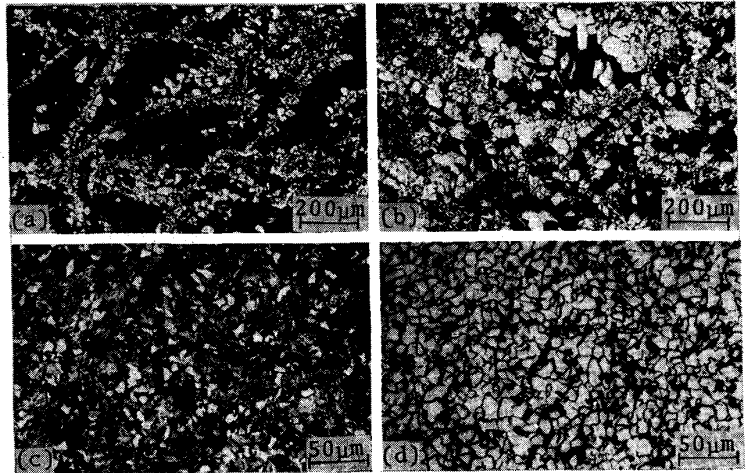


Photo.1 Optical micrographs showing the $\gamma \rightarrow \alpha$ transformation behaviors from work-hardened austenite. (a) and (b) show the transformation from large austenite grains, (c) and (d) show the transformation from small ones.



Photo.2 Optical micrographs showing the effect of the degree of deformation on the morphology of α nucleated on the annealing twin boundaries in large austenite grains. (a) 10% deformed, (b) 50% deformed.